



كلية التجارة

قسم الاحصاء التطبيقي والتأمين

تحليل نماذج التحويل شبه المعلمية للبيانات المبتورة

Semiparametric Analysis of Transformation Models with Censored Data

تحت اشراف

أ.د/ هشام محمد المنجي

أ.د/ فاطمة على محمد عبد العاطى

أستاذ الإحصاء المساعد

أستاذ الإحصاء التطبيقي

كلية التجارة - جامعة المنصورة

كلية التجارة - جامعة المنصورة

إعداد

آية محمود عبد العزيز الزينى

المستخلص

غالباً ما تظهر البيانات المبتورة من ناحية اليسار في دراسات الأوبئة والمتابعة الفردية بسبب سحب العينات المتخيزة ، لأن الأشخاص الذين لديهم فتراتبقاء أقصر تميل هذه الدراسات إلى استبعادهم من العينة .
علاوة على ذلك ، غالباً ما يخضع وقتبقاء الأشخاص محل الدراسة للرقابة من ناحية اليمين .

في هذا البحث ، تمت دراسة فئة عامة من نماذج التحويل شبه المعلمية التي تتضمن نموذج الماطر النسبي ونموذج الإحتمالات النسبية كحالات خاصة لتحليل البيانات المبتورة من ناحية اليسار والخاضعة للرقابة من ناحية اليمين .

وتم اقتراح استخدام طريقة الاختلال الشرطي و تم تطويرها لتناسب طريقة الإمكان الأعظم الشرطية (CMLE) بهدف تقدير معامل الانحدار و دالة الخطأ التراكبية لهذه النماذج والمعدلات المشتقة لمعامل الانحدار ، وتنظير طريقة الإمكان الأعظم الشرطية لتكون متقدمة وطبيعية بشكل مقارب .

وأخيراً ، تم تقدير نموذج بوكس كوس والنماذج اللوغاريتمي لبيانات تم مراقبتها من ناحية اليمين وتحديد المتغيرات التي لها دلالة إحصائية .

الكلمات المفتاحية :

دالة الإمكان الأعظم الشرطية - نموذج الخطأ النسبي - نموذج التحويل شبه المعلمي - البيانات المقطعة .

Abstract:

Left-truncated data often arise in epidemiology and individual follow-up studies due to a biased sampling plan where subjects with shorter survival times tend to be excluded from the sample. Moreover, the survival time of recruited subjects are often subject to right censoring .

In this article, a general class of semi-parametric transformation models that include proportional hazards model and proportional odds model as special cases is studied for the analysis of left-truncated and right-censored data.

We propose a conditional likelihood approach and develop the conditional maximum likelihood estimators (CMLE) for the regression parameters and cumulative hazard function of these models. The derived score equations for regression parameter. The (CMLE) is shown to be consistent and asymptotically normal.

Finally, on the Application side, both the Box-Cox model and the logarithmic model for right -censored data are estimated and the variables with the most statistical significance are determined.

Keywords:-Maximum conditional likelihood- Proportional hazards model – Semiparametric transformation model –Truncation data.

07V

١. المقدمة

تحليل البقاء هو فرع من فروع التحليل الإحصائي يستخدم في تحليل البيانات التي تتكون من الملاحظات التي تمت على متغيرات عشوائية ذات قيمة غير سلبية . و يركز الاهتمام بهذا الموضوع على مجموعة من الأفراد لكل منهم فترة محددة من الوقت عند حدوث أحداث معينة ويسمى هذا الحدث (الفشل أو "البقاء").

كما تأتي الأهمية العملية في تحديد المتغيرات الأكثر تأثيراً في المرض لما له من أهمية عظيمة في المجال الطبي ويفيد أيضاً تغيير نموذج التحويل شبه المعلمى في إطار البيانات الخاضعة للرقابة من ناحية البينين عادةً ما يشار إلى البيانات التي تم جمعها من هذه التجارب على أنها بيانات البقاء على قيد الحياة ، أو بيانات وقت وقوع الحدث ، أو بيانات وقت الفشل ويتم تمثيلها بواسطة متغير عشوائي غير سلبي (T) .
 (T) : الدالة الرئيسية التي تستخدم بشكل شائع في تحليل البقاء على قيد الحياة هي دالة البقاء على قيد الحياة ، ويعرف إحتمال البقاء على قيد الحياة على النحو التالي :

$$S(t) = P(T > t) = 1 - F(t) \quad (1)$$

حيث أن : $S(t)$ دالة البقاء و تمثل احتمال وقوع الحدث.

كما أن دالة التوزيع التراكمي (CDF) هي:

$$F(t) = P(T \leq t) \quad (2)$$

وهناك دالة أخرى شائعة الاستخدام في تحليل البقاء هي دالة الخطأ أو معدل الفشل اللحظي ($\lambda(t)$) وتعرف كالتالي :-

$$\lambda(t) = \lim_{h \rightarrow 0} \frac{P(t \leq T < t+h / T \geq t)}{h} \quad (3)$$

ومن السهل إيجاد أن :

$$\lambda(t) = \frac{f(t)}{s(t)} = -\frac{d}{dt} \log S(t) \quad (4)$$

ويُعرف دالة الخطأ التراكمية لـ (T) كابلي:

$$\Lambda(t) = \int_0^t \lambda(s) ds \quad (5)$$

من ..(4) و (5) نحصل على:

$$S(t) = e^{-\int_0^t \lambda(s) ds} = e^{-\Lambda(t)} \quad (6)$$

هناك نوع آخر من المتغيرات في تحليل البقاء يسمى المتغيرات المشتركة وتمثل تأثير بعض المعالجات (أو المتغيرات التفسيرية) مثل العمر والجنس وما إلى ذلك على وقتبقاء الفرد. لنفترض أن لكل فرد متوجه يتكون من عدد q من الأبعاد للمتغيرات المشتركة Z وفي حالة المتغيرات غير المشتركة (non-covariate) يمكننا الحصول على دالة البقاء المشرطدة T بالنظر إلى المتغير المشترك z حيث

$$S(t/z) = e^{-\int_0^t \lambda(s/z) ds} = e^{-\Lambda(t/z)} \quad (7)$$

حيث $\lambda(t/z)$ هي دالة الخطر الشرطي والخطر التراكمي دالة T حيث $z = z$

لنجصل على:

$$\lambda(t/z) = \lim_{h \rightarrow 0} \frac{P(t \leq T < t+h | T = t, z)}{h} \quad (8)$$

$$\Lambda(t/z) = \int_0^t \lambda(s/z) ds \quad (9)$$

وعادة ما يكون النموذج من فئة من التوزيعات أو الكثافات التي نعتقد أنها قد وليت من البيانات المرصودة، وبشكل أساسى ، هناك نوعان من النماذج: نموذج معلمى ونموذج غير معلمى.

فإن النموذج المعلمى هو نموذج يمكن معرفته بواسطة متتجة q من الأبعاد ، أما النموذج الغير معلمى (نموذج غير محدود الأبعاد) هو نموذج يحتوى على جميع P.d.f فى حجم العينة بشكل مطلق ومستمر مع قياس مجال σ . [1]

في النموذج المعلمى يُعرف توزيع النموذج بالمعلومات غير المعروفة بينما في النموذج الغير معلمى تكون المعلومة غير المعروفة هي توزيع النموذج نفسه .

لا يزال لدينا نوع آخر من النماذج وهي حالة وسيطة بين النماذجين المذكورين أعلاه ، تسمى هذه الحالة **بالمودج الشبه معلمي** ، وهو نموذج يحتوي على توزيعات احتمالية موصوفة من خلال معلمة تحتوي على مكون متاهي الأبعاد ومكون غير متاهي الأبعاد.

النموذج المعلمي يشار إليه:

$$\mathcal{P} = \{\mathcal{P}(x, \theta) : \theta \in \Theta \subset \mathbb{R}^q\} \quad (10)$$

حيث أن \mathcal{P} هو نموذج معلمي.

وعلى سبيل المثال قد يتم تعريف النموذج المعلمى الطبيعي على أنه:

$$\mathcal{P} = \{N(\theta_1, \theta_2) : (\theta_1, \theta_2) \in \Theta \subset R \times R^+\} \quad (11)$$

أما النموذج الغير معلمى يشار إليه كالتالى:

$$\{\mathcal{P} : \mathcal{P}(x) \geq 0 \text{ for all } x \in X, \int_X \mathcal{P}(x) d\nu(x) = 1\} \quad (12)$$

عادة ما يتم الإشارة إلى النموذج الشبه معلمى كالتالى:

$$\mathcal{P} = \{\mathcal{P}(x, \beta, \eta) : \beta \in \Theta \subset \mathbb{R}^q, \eta \in \mathcal{H}\} \quad (13)$$

حيث أن :

q-dimension parameter : β

η : معلمة غير متاهية الأبعاد .

. Hilbert space \mathcal{H} : فراغ الدالة مثل

- وقد تواجه هذه الدراسة عدة مشاكل منها (على سبيل المثال لا الحصر):

• تقييم معاملات الأبعاد غير المحدودة في ظل وجود معلمة أبعاد محدودة في نموذج تحويل الشبه معلمى ، وجود صعوبة في التعامل مع البيانات المتغيرة .

2. الاستعراض المرجعي

تناولت دراسة Zeng & Lin(2006) فئة من نماذج التحويل الشبه معلمي لتصف تأثيرات المتغيرات المشتركة بمرور الوقت من خلال دوال الكثافة لعمليات العد، وتشمل هذه الفئة الكثافة الاحتمالية ونماذج التحويل الشبه معلمي

وقد تناولت دراسة Zhang (2016) التقدير الشبه معلمي لنموذج التحويل الخطى جزئياً وذلك بتحديد الكمية الشرطية مع عدم وجود معلمة مفروضه إما من خلال نموذج دالة الارتباط أو توزيع الخطأ.

وتناولت دراسة Sokullu & Stouli (2017) دراسة البيانات الخاضعة لرقابة الفترات الزمنية من خلال نموذج مكون من جزئين الأول نموذج الانحدار الوجستي والثاني النموذج الشبه معلمي وتم تطوير هذا النموذج عن طريق خوارزمية من نوع EM وتحديد اتساقها وكفائتها.

كما تناولت (2018) Li et al تحليل الانحدار للبيانات الخاضعة لرقابة المزدوجة وذلك من خلال نماذج التحويل شبه المعلمية وتم فيها دراسة الخصائص للاحتمالات العظمى بما فيها ..الاتساق _ الكفاءة _ الشبه معلمية .

وأوضحت الدراسات مدى اهتمامها بنموذج التحويل شبه المعلمى لذلك يهدف البحث الى تقدير نموذج التحويل الشبه معلمى للبيانات المبتررة من ناحية اليمين وبالتحديد دراسة نموذج بوكس كوكس والنماذج اللوغاريتmic من خلال دالة الإمكان الأعظم الشرطية .

3. النماذج محل الدراسة

يُعتبر نموذج التحويل الخطى نموذجاً شبه معلمى يتكون من معلمة غير معروفة من أبعاد محدودة (finite dimensional) ومن أجزاء ذات أبعاد غير محدودة (infinite dimensional)

نفرض أن $T \leftarrow$ وقت البقاء على قيد الحياة ، $Z \leftarrow$ يكون متوجه q من الأبعاد للمتغيرات المشتركة لتأثيرات نموذج Z على الاستجابة T .

لذلك نفرض أن نموذج التحويل الخطى(Lu and Tsiatis (2006)

$$H(t) = -\beta^T Z + \epsilon \quad (14)$$

حيث أن:

H : دالة أحادية متزايدة غير معروفة .

β : هي معلومة انحدار ذات q للأبعاد.

ϵ : مصطلح الخطأ الذي يفترض أنه يتبع دالة توزيع معروفة F_ϵ خالية من المتغير Z . كما أن

دالة البقاء الشرطية L من Z تمثل الشكل

$$\begin{aligned} S(T/Z) &= \mathbb{P}(T > t/Z) \\ &= \mathbb{P}(H(T) + \beta^T Z > H(t) + \beta^T Z/Z) \end{aligned} \quad (15)$$

$$S_T(t/Z) = e^{-\Lambda_\epsilon(H(t) + \beta^T Z/Z)} \quad (16)$$

حيث (\cdot/Z) Λ_ϵ هي دالة الخطر التراكمي الشرطي من \in المعطى لـ Z ، ويوجد حالتين لنموذج التحويل الخطى : نموذج الخطر النسبي (نموذج كوكس) ونموذج الاحتمالات التassistic (proportional odd) ، بافتراض أن ϵ يتبع توزيع extreme value distribution model) ، ومن المعروف أن دالة البقاء على قيد على الحياة L هي $= e^{-ex}$ (ii) ومن نموذج التحويل الخطى (3) يختصر إلى [1]

$$\Lambda_T(t/z) = \Lambda_{T0}(t)e^{\beta^T z} \quad (17)$$

وهو نموذج الخطر النسبي (\cdot) $\Lambda_{T0}(\cdot)$ ، $S_{T0}(\cdot)$ تُعرف باسم بقاء خط الأساس ودالة الخطر التراكمي على التوالى.

ثانياً: النماذج الشبه معلمية

نماذج التحويل لعمليات العد وهو يرتبط فئة نماذج التحويل الخطى بتحويل غير معروف خطياً لوقت الفشل T إلى متوجه الوقت (time invariant) للمتغيرات المشتركة Z

$$H(T) = -\beta^T Z + \epsilon \quad (18)$$

$H(\cdot)$ دالة تزايدة .

β هي مجموعة من معالم الانحدار غير المعروفة .

ع خطأ عشوائي .

في النموذج يكون التحويل (\cdot) H يكون افتراضي arbitrary ، ولا ينبغي أن يفرض ϵ بشكل مقيد ،
فهناك دائمًا تحول مثل " ϵ " له أي توزيع معين ، وقام بتوسيع المعادلة للسماح بمتغيرات زمنية
متغيرة وأحداث متكررة [1]، لذا سوف يتم فرض أن:

N^* تتمثل عملية العد التي تسجل عدد الأحداث التي حدثت بحلول الوقت t

Z يكون متغيرا للمتغيرات المشتركة المتغيرة بمرور الوقت .

لذا نحدد دالة الكثافة الاحتمالية $I(t \leq s | Z(s), s \leq t)$ وتأخذ الشكل

$$I(t/Z) = G \left[\int_0^t R^* \exp\{\beta^T Z(s)\} d\Lambda(s) \right] \quad (19)$$

G هي دالة قابلة للتفاضل باستمرار وتنزيله بشكل ثابت

R^* مؤشر عملية العد ، β هو متوجه لمعلمات انحدار غير معروفة

$\Lambda(\cdot)$ هي دالة متزايدة غير محددة.

بالنسبة لبيانات البقاء $I(t \geq T) = I(T \geq t)$ حيث $I(\cdot)$ يمثل مؤشر الدالة ، بالنسبة للأحداث
المتكررة $R^* = 1$... ومن المفيد الأخذ في الاعتبار نموذج بوكس كوكس التحويلي التالي :

$$G(x) = \frac{(1+x)^\theta - 1}{\theta}, \quad \theta \geq 0 \quad (20)$$

حيث $\rho = \log(1+x)$ بالمقابله

و نموذج التحويل اللوغاريتمي .

$$G(x) = \frac{\log(1+rx)}{r}, \quad r \geq 0 \quad (21)$$

حيث $r=0$ بال مقابلة لـ $x = G(x)$ واختيار $x = (x)G$ ينتج عنه نموذج الخطر النسيي المألوف أو نموذج الكثافة . (Cox, 1972; Andersen and Gill, 1982) . إذا كان $(.)^N$ لديه قفزة واحدة في وقت البقاء على قيد الحياة T و Z هو الوقت الثابت ، ثم المعادلة (2) تتحول إلى المعادلة (1)

ثالثاً : نموذج بوكس كوكس التحويلي(Box-cox transformation model)

يتم استخدامه لتعديل الشكل التوزيعي لمجموعة من البيانات ليتم توزيعها بشكل أكثر طبيعية بحيث يمكن استخدام الاختبارات وحدود الثقة التي تتطابق التوزيع الطبيعي بشكل مناسب . ولكن ثقنية هذا النموذج قد لا تتناسب مع القيم المتطرفة .

ويتبع الشكل الرياضي التالي :-

$$Y = (X + \delta)^\lambda \quad (22)$$

حيث λ هو الألس (القوة) و هو مقدار التحول الذي يتم إضافته عندما تكون X صفرًا أو سالبة. عندما تكون λ صفرًا ، يتم استبدال التعريف أعلاه بـ

$$Y = \ln(X + \delta) \quad (23)$$

عادةً ما يتم فحص قيمة λ القياسية $-2, -1.5, -0.5, 0, 0.5, 1, 1.5, 2$

وقام بحل القيمة المثلى لـ λ باستخدام تدبر الاحتمالية الفصوى. يقوم أيضًا بحساب حدود الثقة حول القيمة المثلى . . بالاعتقاد على القيمة المعاشرة الأكثر ملاءمة بين حدود الثقة. على سبيل المثال ، إذا كانت حدود الثقة من 0.4 إلى 1.1 ، فسيتم تعين على القيمة القياسية "1" (دون تحويل) لأن هذا هو الأكثر ملاءمة. يجب توخي الحذر عند استخدام حدود الثقة ، لأنها تعتمد بشكل كبير على حجم العينة.

4. دالة الإمكان الأعظم الشرطية تتم على خطوتين

الخطوة الأولى: تعمل على تعظيم دالة الاحتمال اللوغاريتمي الهاشمي.

الخطوة الثانية: تعمل الخطوة الثانية على تعظيم دالة احتمالية اللوغاريتم الشرطي .

5. طريقة التقدير

1- يتم أولاً تدبير المعادلات لنموذج التحويل الشبه ملمعي باستخدام طريقة martingale arguments واستخدامها (Chen et al (2002) لتحليل بيانات غير متزنة من ناحية اليمين .

2- يتم استخدام طريقة الإمكان الأعظم الشرطية (CMLE) لتدبير نماذج التحويل شبه الملممية حيث أن دالة الكثافة التراكمية للنموذج

$$\Lambda(t | Z) = \{ G \circ R(t) \exp(\beta^T Z) \} \quad (24)$$

حيث يتم تدبير ($R(\cdot)$ ، β عندما تكون Z منفصلة .

G هي دالة التحويل ، $R(t)$ دالة الخطر التراكمية الأساسية.

أولاً : تدبير المعادلات

نفرض أن $(X_i, V_i, Z_i, \delta_i)$ ($i = 1, \dots, n$) ويكون العينة المبتردة التي يتم مراقبتها تعرف كالتالي

$$s-field \quad \mathcal{F}(t) = I_{[X_i \leq t \leq \delta_i]} \quad Y_i(t) = I_{[V_i \leq t \leq X_i]}$$

ونفرض أن $P(Z_i) = P(V \leq T/Z_i)$ وتشير إلى القيم الصحيحة $P, V, \beta, h, \beta_0, h_0$ على التوالي .

لذلك نفرض أن :

$$M_i(t) = N_i(t) - \int_0^t Y_i d\Lambda_\epsilon(\beta^T Z_i + h_0(s)) \quad (25)$$

حيث أن $\Lambda_\epsilon(u) = G(e^u)$ هي دالة الخطر التراكمية لـ ϵ .

$$E[Y_i(t) / Z_i] = P(N_i \leq t \leq X_i / Z_i)$$

$$= P(V \leq t \leq X / V \leq T, Z_i)$$

$$= P(Z_i)^{-1} P(V \leq t \leq C/Z_i) P(T \geq t/Z_i) \quad (26)$$

$$E[N_i(t) / F(t-)] = Y_i dA_\epsilon(\beta_0^T Z + h_0(t)) \quad (27)$$

كما اعتبر (Shen 2011) المعادلين التاليتين تعبيرا لكلا من β و $h(t)$

$$U_1(\beta, h) = \sum_{i=1}^n [dN_i(t) - Y_i(t)dA_\epsilon(\beta^T Z_i + h(t))] = 0 \quad (28)$$

$$U_2(\beta, h) = \sum_{i=1}^n \int_0^{t_c} Z_i [dN_i(t) - Y_i(t)dA_\epsilon(\beta^T Z_i + h(t))] = 0 \quad (29)$$

ثانياً : دالة الإمكان الأعظم الشرطية CML

يفترض أن $V=v$ و $Z=z$ $Q(x,v,z)=P(C \leq x | V=v, Z=z)$ ويشار إلى التوزيع الشرطي C اذا كانت V ، $Z=z$ بحيث دالة الاحتمال $L(F, K, Q)$ كما يلى :

$$\begin{aligned} L &= \prod_{i=1}^n \{d(F(X_i/Z_i)dk(V_i/Z_i)[1 - Q(X_i/V_i, Z_i)/p(Z_i)])^{\delta_i} \\ &\times \prod_{i=1}^n \{dQ(X_i/V_i, Z_i)dK(V_i/Z_i)[1 - Q(X_i/V_i, Z_i)/p(Z_i)]^{1-\delta_i}\} \quad (30) \end{aligned}$$

كما في (Wang 1991) ، نحل L إلى ثلاثة عوامل تنتج :-

$$\begin{aligned} L &= \prod_{i=1}^n \left\{ \frac{[dF(X_i/Z_i)]^{\delta_i}[1 - F(X_i/Z_i)^{1-\delta_i}]}{1 - F(V_i/Z_i)} \right\} \prod_{i=1}^n \left\{ \frac{dK(V_i/Z_i)[1 - F(V_i/Z_i)]}{p(Z_i)} \right\} \\ &\times \prod_{i=1}^n \{[1 - Q(X_i/V_i, Z_i)]^{\delta_i}[dQ(X_i/V_i, Z_i)]^{1-\delta_i}\} = L_1 L_2 L_3 \quad (31) \end{aligned}$$

L_1, L_2, L_3 تمثل دوال الاحتمال . وبالنظر الى دالة النموذج (24) ينتج الآتى :-

$$P(Z_i) \int_{a_k}^{b_k} \exp\{-G[R(v)e^{\beta^T Z_i}]\} dK(v) \quad (32)$$

٦. الجانب التطبيقي :

تناول الدراسة التطبيقية بيانات طبية لعينة من الأطفال المرضى المصابون بمرض التهاب الدماغ ، والتي تم علاجهم من هذا المرض بمستشفى حميات المنصورة ، وقد تم تجميع البيانات وعدها ١٣٣ طفل أصيبوا بهذا المرض وكان عدد الحالات التي توفت خلال فترة الدراسة هي ٩٠ حالة بينما عدد الحالات التي ظلت على قيد الحياة حتى نهاية الفترة عددها ٤٣ حالة وتمثل الحالات المبتورة وهو ما يعتمد عليه في هذا البحث . تم استخدام برنامج R والاعتماد على Package library(survival) – library(nleqslv) – library(boot)

❖ وصف المتغيرات المستخدمة في البحث

اسم المتغير باللغة الإنجليزية	اسم المتغير باللغة العربية	التعرف
Gender	النوع	ويأخذ القيمة ١ وتعنى ذكر والقيمة صفر وتعنى أنثى .
Age	العمر	ويتم قياس الأعمار هؤلاء المرضى بالشهور من شهر الى ١٢٠ شهرا .
Date Diagnose	تاريخ التشخيص	وهو وقت دخول المريض إلى المستشفى وتشخيصه .
End date	تاريخ الخروج	تاريخ آخر مشاهدة لكل مريض .
Survival time	وقت المراقبة	الفرق ما بين تاريخ التشخيص وتاريخ الخروج .
Censoring	المراقبة	ويأخذ القيمة صفر تعنى أن المريض ظل على قيد الحياة والقيمة ١ وتعنى أن المريض قد توفي .
Job	الوظيفة	وتتنقسم إلى جزئين إما طالب أو دون سن المدرسة .
ICP	قياس ضغط الدم	يتمثل درجات قياس ضغط الدم .

ثم قياس متغيرات نفسية (النوع _ العمر _ الوظيفة _ قياس ضغط الدم _ وقت البقاء) ومتغير الاستجابة (البر) .
 تم تدريب كلام من النصوص اللوغاريتمي ونموذج بوكس كوكس بالاعتماد على ثلاثة متغيرات (العمر - النوع - الوظيفة) .

الحالة الأولى بالاعتماد على ثلاثة متغيرات

أولاً : بالنسبة لمتغير العمر

من النتائج المتحصل عليها في الجدول(1) والخاصة بتقديرات النموذج شبه المعلمي لطريقة تقدير وطريقة التقدير اللوغاريتمية (Logarithm) يمكن تلخيص هذه النتائج عن طريق مقارنة نتائج Box-Cox التقديرات (EST) والإنحراف المعياري المقارب لها (ASE) والدالة المعنوية (P-value) مع زيادة قيمة الـ $\theta = 0.25, 0.5, 0.75, 1, 1.25, 1.5, 2$ وهي معلمة النموذج حيث افترضنا قيمة λ متساوية 1.

(أ) بالنسبة للتقديرات شبه المعلممية لنموذج Box-cox يمكن استنتاج الملاحظات التالية:

يلاحظ أنه عندما كانت قيمة $\theta = 0.25$ أن معامل التقدير شبه المعلمي لمتغير العمر (Age) يساوي -0.0431، بينما الإنحراف المعياري مقارب قدره 0.01038 وقيمة المعنوية المحسوبة (p-value) أقل من 0.001 مما يعني وجود دلالة معنوية لمتغير العمر وذلك عند مستوى الدلالة الإحصائية (0.05).

بصفة عامة نجد أنه عند جميع قيم θ فإن قيمة التقدير شبه المعلمي باستخدام نموذج Box-Cox لمعامل متغير العمر (Age) كلها كانت سلبية وفي تناقص مع زيادة قيمة الـ θ حتى تصل إلى قيمة $\theta = 1$ ثم بعد ذلك تتجه قيمة التقدير معامل متغير العمر للتزايد مع زيادة قيمة الـ θ ثم تتجه للتناقص مرة أخرى، أما بالنسبة للإنحراف المعياري المقارب فنجد أنه مع زيادة قيمة الـ θ فإن الإنحراف المعياري المقارب يقل حتى تصل إلى قيمة $\theta = 1$ ثم بعد ذلك تتجه قيمة تقدير الإنحراف المعياري المقارب للتزايد مع زيادة قيمة الـ θ ثم تتجه للتناقص مرة أخرى ، أما بالنسبة للمعنوية المحسوبة فإن متغير العمر له دلالة معنوية عند جميع قيم الـ θ مع ملاحظة أن قيمة المعنوية المحسوبة تقل كلما زادت قيمة الـ θ .

(ب) بالنسبة للتقديرات شبه المعلممية لنموذج اللوغاريتمي Logarithm يمكن استنتاج الملاحظات التالي

يلاحظ نجد أنه عندما كانت قيمة $\theta = 0.5$ معامل التقدير شبه المعلمي لمتغير العمر (Age) يساوي -0.0208 بينما الإنحراف المعياري مقارب قدره 0.0096 وقيمة المعنوية المحسوبة (p-value) أقل من 0.0307 مما يعني وجود دلالة معنوية لمتغير العمر وذلك عند مستوى الدلالة الإحصائية (0.05). بالنسبة لتقديرات معامل متغير العمر.

بصفة عامة نجد أنه عند جمبع قيمة θ فإن قيمة التقدير شبه المعلمي باستخدام نموذج Logarithm لمعامل متغير العمر (Age) كانت سلبية حتى قيمة $\theta = 10$ ثم ايجابية بعد قيمة $\theta = 10$ أكبر من الواحد الصحيح وبالتالي فإن العلاقة طردية بين قيمة θ والتقدير لمعامل متغير العمر، أما بالنسبة للانحراف المعياري المقارب فنجد أنه مع زيادة قيمة θ فإن الانحراف المعياري المقارب يزداد ومنه نستنتج أن العلاقة طردية بين الانحراف المعياري المقارب للتقدير وقيمة θ ، أما بالنسبة للمعنوية المحسوبة فإن متغير العمر له دلالة معنوية عند قيم $\theta = 0.25, 0.5, 0.75, 1, 1.25, 1.5$ مع ملاحظة أن قيمة المعنوية المحسوبة تزداد كلما زادت قيمة θ حتى تصل $\theta = 2$ ثم بعد ذلك تتجه قيمة المعنوية المحسوبة للتلاقي مع زيادة قيمة θ .

جدول (1) التقديرات بالنسبة لمتغير العمر

age	Transformation	Box-cox			Logarithm		
		EST	ASE	P-Value	EST	ASE	P-Value
	$\theta=0.25$	-0.0431	0.01038	0.0000	-2.7369	0.0058	2.47e-6
	$\theta=0.50$	-0.0303	0.0070	1.55e-5	-0.0208	0.0096	0.0307
	$\theta=0.75$	-0.0221	0.0041	5.33e-8	-0.0112	0.0139	0.4227
	$\theta=1$	-0.0171	0.0052	0.0011	0.0188	0.0256	0.4620
	$\theta=1.25$	-1.4180	0.0280	4.22e-7	0.0327	0.0251	0.1920
	$\theta=1.5$	-0.0122	0.0025	7.11e-7	0.04086	0.0223	0.0675
	$\theta=2$	-0.1041	0.0018	5.73e-9	0.0533	0.0228	0.0197

(ا) بالنسبة لمتغير النوع الموضخ بالجدول (2) نجد أنه عندما كانت قيمة $\theta = 0.5$ فإن معامل التقدير شبه المعلمي باستخدام نموذج Box-Cox لمتغير النوع (Gender) يساوي 0.4002 بإنحراف معياري مقارب قدره 0.8170 وقيمة المعنوية المحسوبة 0.6242 مما يعني عدم معنوية متغير النوع في العلاقة المفترضة حيث أن المعنوية المحسوبة أكبر من مستوى الدلالة الإحصائية (0.05). يلاحظ أنه عند جميع قيم θ فإن قيمة التقدير شبه المعلمي باستخدام نموذج Box-Cox لمعامل متغير النوع (Gender) كلها كانت سلبية وفي تناقص مع زيادة قيمة θ , أما بالنسبة للإنحراف المعياري المقارب فنجد أنه مع زيادة قيمة θ فإن الإنحراف المعياري المقارب يقل ومنه نستنتج أن العلاقة عكسية بين الخطأ المعياري للتقدير وقيمة θ , أما بالنسبة للمعنوية المحسوبة فإن متغير النوع ليس له دلالة معنوية عند جميع قيم θ مع ملاحظة أن قيمة المعنوية المحسوبة تقل كلما زادت قيمة θ .

ب) بالنسبة للتقديرات شبه الملممية للنموذج اللوغاريتمي Logarithm يمكن استنتاج الملاحظات التالية:

يلاحظ أنه عندما كانت قيمة $\theta = 0.5$ فإن معامل التقدير شبه المعلمي باستخدام نموذج Logarithm لمتغير النوع (Gender) يساوي -0.7534 بإنحراف معياري مقارب قدره 0.5078.1 وقيمة المعنوية المحسوبة (P-value) 0.6173 مما يعني عدم معنوية متغير النوع في العلاقة المفترضة حيث أن المعنوية المحسوبة أكبر من مستوى الدلالة الإحصائية (0.05). بصفة عامة نجد أنه عند جميع قيم θ فإن قيمة التقدير شبه المعلمي باستخدام نموذج Logarithm لمعامل متغير النوع (Gender) كلها كانت سلبية ماعدا عند $\theta = 2$ حيث كان التقدير موجب وفي تناقص مع زيادة قيمة θ مع ملاحظة أن التقدير يقل حتى تصل إلى قيمة $\theta = 0.75$ ثم بعد ذلك تتجه قيمة التقدير للتزايد مع زيادة قيمة θ مرة أخرى ومنه نستنتج أن العلاقة متغيرة بين التقدير وقيمة θ . بمعنى أنها عكسية ثم طردية، أما بالنسبة للإنحراف المعياري المقارب فنجد أنه مع زيادة قيمة θ فإن الإنحراف المعياري المقارب يزداد ومنه نستنتج أن العلاقة طردية بين الإنحراف المعياري المقارب للتقدير وقيمة θ . أما بالنسبة للمعنوية المحسوبة فإن متغير النوع ليس له دلالة معنوية عند جميع قيم θ مع ملاحظة أن قيمة المعنوية المحسوبة تتزداد كلما زادت قيمة θ .

جدول (2) التقديرات بالنسبة لمتغير العمر

Gender	Transformation	Box-cox			Logarithm		
		EST	ASE	P-Value	EST	ASE	P-Value
θ=0.25	θ=0.25	-0.4002	0.8170	0.6242	-0.4661	0.7027	0.5071
	θ=0.50	-0.2657	0.3830	0.4879	-0.7534	1.5078	0.6173
	θ=0.75	-0.1843	0.2785	0.5080	-1.1831	1.9909	0.5523
	θ=1	-0.1380	0.2180	0.5265	-0.6502	3.3098	0.8442
	θ=1.25	-0.1109	0.1764	0.5296	-0.4117	3.5403	0.9074
	θ=1.50	-0.0935	0.1501	0.5333	-0.1926	3.9664	0.9612
	θ=2	-0.0749	0.1162	0.5190	0.3131	5.8273	0.9571

(أ) بالنسبة للتقديرات شبه المعلمية لنموذج Box-cox يمكن استنتاج الملاحظات التالية نجد أن معامل التقدير شبه المعلمي لمتغير الوظيفة (Job) يساوي 0.5193 بإنحراف معياري مقارب قدره 0.4364 وقيمة المعنوية المحسوبة 0.2340 (p-value) مما يعني عدم الدلالة المعنوية لمتغير الوظيفة حيث أن المعنوية المحسوبة أكبر من مستوى الدلالة الإحصائية (0.05). بصفة عامة نجد أنه عند جميع قيم θ فإن قيمة التقدير شبه المعلمي باستخدام نموذج Box-Cox لمعامل متغير الوظيفة (Job) كلها كانت سلبية ماعدا عند قيمة $\theta = 0.25$ وهي تتناقض مع زيادة قيمة θ أولاً بالنسبة للإنحراف المعياري المقارب فنجد أنه مع زيادة قيمة θ فإن الإنحراف المعياري المقارب يقل ومنه نستنتج أن العلاقة عكسية بين الخطأ المعياري للتقدير وقيمة θ ، أما بالنسبة للمعنوية المحسوبة فإن متغير الوظيفة ليس له دلالة معنوية عند جميع قيم θ ماعدا عند قيمة $\theta = 2$ حيث كانت دلالة المتغير معنوية مع ملاحظة أن قيمة المعنوية المحسوبة تقل كلما زادت قيمة θ .

ب بالنسبة للتقديرات شبه المعلمية لنموذج اللوغاريتمي Logarithm يمكن استنتاج الملاحظات التالية:- نجد أن معامل التقدير شبه المعلمي لمتغير الوظيفة (Job) يساوي 1.8267 بخطأ معياري قدره 1.4988 وقيمة المعنوية المحسوبة 0.2229 (p-value) مما يعني عدم الدلالة المعنوية .

ثالثاً بالنسبة لتقديرات معامل متغير الوظيفة (Job):

بصفة عامة تجد أنه عند جميع قيم θ فإن قيمة التقدير شبه المعلمي باستخدام نموذج Logarithm لمعامل متغير الوظيفة (Job) كلها كانت موجبة وفي تزايد مع زيادة قيمة θ ، أما بالنسبة للإحراز المعياري فنجد أنه مع زيادة قيمة θ فإن الإحراز المعياري المقارب يقل حتى تصل إلى قيمة $\theta = 0.75$ ثم بعد ذلك تتجه قيمة تقدير الإحراز المعياري المقارب للتزايد مع زيادة قيمة θ مرة أخرى، أما بالنسبة للمعنى المحسوسية فإن متغير الوظيفة ليس له دلالة معنوية عند جميع قيم θ مع ملاحظة أن قيمة المعنى المحسوسية تقل حتى تصل عند قيمة $\theta = 0.75$ ثم بعد ذلك تتجه للزيادة مرة أخرى مع زيادة قيمة θ المحسوسية أكبر من مستوى الدلالة الإحصائية (0.05).

جدول (3) بالنسبة لتقديرات متغير الوظيفة

Transformation	Box-cox			Logarithm		
	EST	ASE	P-Value	EST	ASE	P-Value
job	$\theta=0.25$	0.5193	0.4364	0.2340	0.0045	0.7468 0.9952
	$\theta=0.50$	-0.6320	0.2766	0.0223	1.8267	1.4988 0.2229
	$\theta=0.75$	-0.1843	0.2785	0.5080	-1.1831	1.9909 0.5523
	$\theta=1$	-0.1380	0.2180	0.5265	-0.6502	3.3098 0.8442
	$\theta=1.25$	-0.1109	0.1764	0.5296	-0.4117	3.5403 0.9074
	$\theta=1.50$	-0.0935	0.1501	0.5333	-0.1926	3.9664 0.9612
	$\theta=2$	-0.0749	0.1162	0.5190	0.3131	5.8273 0.9571

الحالة الثانية : بالإعتماد على متغير واحد فقط (العمر) والموضحة في جدول (4)

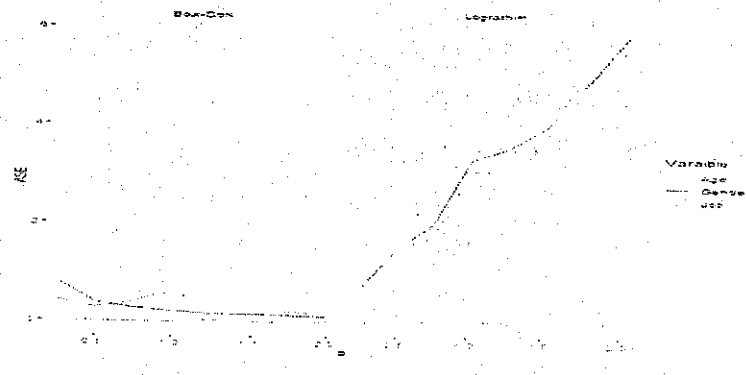
أولاً: بالنسبة لتقديرات شبه المعلمية لنموذج Box-Cox والنموذج اللوغاريتمي يمكن استنتاج الملاحظات التالية عند $\theta = 0.5$ فنلاحظ أن القيمة المعنوية المحسوسية (p-value) أقل من 0.001 مما يعني معنوية متغير العمر في العلاقة المفترضة حيث أن المعنوية المحسوسية أقل من مستوى الدلالة الأحصائية (0.05). بينما في التقدير شبه المطابق باستخدام نموذج Box-Cox لثلاث المتغيرات (ال النوع والعمر والوظيفة) نجد أن معامل التقدير شبه المعلمي للمتغير العمر (Age) يساوي -0.0431 بإنحراف معياري متقارب قدره 0.01038 وقيمة المعنوية المحسوسية (p-value) أقل من 0.001 مما يعني وجود دلالة معنوية

لمتغير العمر وذلك عند مستوى الدلالة الأحصائية (0.05). ونلاحظ أن الأشارة مازالت سالبة وإن الدلالة المعنوية موجودة في الحالتين. وقيمة المعنوية المحسوبة (p -value) أقل من 0.001 مما يعني وجود دلالة معنوية لمتغير العمر وذلك عند مستوى الدلالة الأحصائية (0.05). ونلاحظ أن الأشارة مازالت سالبة وإن الدلالة معنوية في الحالتين، في الرسم التوضيحي للتقديرات والإثارة المعياري يمكن التحقق من الملاحظات السابقة لطريقة التقدير شبه المعلمي باستخدام النموذجين

جدول (4) تقدرات النماذج بالإعتماد على متغير العمر فقط

Transformation	Box-Cox			Logarithm		
	EST.	ASE	p-value			
				EST.	ASE	p-value
0.25	-0.0340	0.0061	0.00000	-0.0283	0.0050	0.0000
0.50	-0.027	0.0047	0.00000	-0.0332	0.0096	0.0006
0.75	-0.0183	0.0040	0.00001	-0.0192	-	-
1.00	-0.0142	0.0038	0.00017	0.0040	0.0249	0.8723
1.25	-0.0118	0.0026	0.00000	0.0172	0.0295	0.5606
1.50	-0.0102	0.0021	0.0000	0.0273	0.0325	0.4016
2	-	-	-	-	-	-

في الرسم التوضيحي للتقديرات والإثارة المعياري يمكن التتحقق من الملاحظات السابقة لطريقة التقدير شبه المعلمي باستخدام النموذجين



شكل(1) مقارنة نماذج Box-Cox اللوغاريتمية لمتوسط الانحراف المعياري

7، النتائج

يمكن إيجاز النتائج التي تم التوصل إليها في هذا البحث في النقاط التالية :

[1] طريقة الإمكان الأعظم الشرطية CMLE تعد اختياراً جيداً من حيث الكفاءة والقوة عندما يكون التوزيع الأساسي لوقت الاقتطاع غير معروف .

[2] أظهرت نتائج (CMLE) أنها أكثر كفاءة من النتائج التي تعتمد على تدبر المعادلات (EE).

[3] عندما تكون متجة المتغيرات المشتركة \geq منفصلة فإن β أكثر فاعلية .

[5] من خلال الجدول التالي يتضح أن نموذج بوكس كوكس هو النموذج الأفضل باستخدام الانحراف المعياري المقارب .

(5) جدول

النموذج الأفضل	Logarithm		Box-Cox	Transformation
	ASE	ASE	θ	المتغير
Box-Cox	0.0096	0.007	0.5	AGE
	0.0139	0.0041	0.75	
	0.0256	0.0052	1	
	0.0223	0.0025	1.5	
	0.0228	0.0018	2	
	ASE	ASE		المتغير
Box-Cox	1.5078	0.383	0.5	GENDER
	1.9909	0.2785	0.75	
	3.3098	0.218	1	
	3.9664	0.1501	1.5	
	5.8273	0.1162	2	
	ASE	ASE		المتغير
Box-Cox	1.4988	0.2766	0.5	JOB
	1.7392	0.3948	0.75	
	3.0814	0.6172	1	
	3.7179	0.2446	1.5	
	5.5625	0.1585	2	

8. التوصيات

(1) استخدام طريقة CMLE لأنها من أكثر المقدرات كفاءة (يقال أن الإحصاء كافٍ لـ θ إذا كان θ يحتوي على جميع المعلومات حول θ المتوفرة في متغير البيانات بأكمله x ؛ رسميًا $\hat{\theta}$ يكفي لـ θ إذا كان التوزيع الشرطي لـ X المعطى $\hat{\theta}$ لا يعتمد على θ).

(2) تقييم مدى كفاية نماذج التحويل الشبه معلمية لضمان صحة الاستدلال ودقة التنبؤ. توصي الدراسة بتوسيع هذا المنهج على البيانات المبتورة من ناحية اليسار والخاضعة للرقابة من ناحية اليمين (LTRC)

(3) توصي الدراسة باستخدام اختبار جودة المطابقة لتحديد النموذج الأفضل في نماذج التحويل شبه المعلمية.

- 8.. Zeng, D., & Lin, D. Y. (2007). Maximum likelihood estimation in semiparametric regression models with censored data. *Journal of the Royal Statistical Society: Series B (Statistical Methodology)*, 69(4), 507-564
9. Zeng, D., & Lin, D. Y. (2006). Efficient estimation of semiparametric transformation models for counting processes. *Biometrika*, 93(3), 627-640

- المراجع .٩
1. Al-Mosawi, R. R., & Aziz, A. (2020). On Parametric Linear Transformation Model with Left-Truncated and Interval-Censored Data. *Journal of Education for Pure Science-University of ThiQar*, 10(1), 100–111.
 2. Chen, C. M., & Shen, P. S. (2018). Conditional maximum likelihood estimation in semiparametric transformation model with LTRC data. *Lifetime data analysis*, 24(2), 250–272.
 3. Chen, K., Jin, Z., & Ying, Z. (2002). Semiparametric analysis of transformation models with censored data. *Biometrika*, 89(3), 659–668.
 4. Li, S., Hu, T., Wang, P., & Sun, J. (2018). A class of semiparametric transformation models for doubly censored failure time data. *Scandinavian Journal of Statistics*, 45(3), 682–698.
 5. Sokullu, S., & Stouli, S. (2017). Cross-Validation Selection of Regularisation Parameter (s) for Semiparametric Transformation Models. *Annals of Economics and Statistics/Annales d'Économie et de Statistique*, (128), 67–108.
 6. Shen, P. S. (2011). Semiparametric analysis of transformation models with left-truncated and right-censored data. *Computational Statistics*, 26(3), 521–537.
 7. Zhang, Z. (2016). Semiparametric estimation of partially linear transformation models under conditional quantile restriction. *Econometric Theory*, 32(2), 458–497.

QSY

1- Introduction

Recently, firms have increasingly been competing in business environments characterized by short product life cycles, globally extended supply chains, and volatile demand patterns. Supply chains no longer have only to deal with the risks associated with the uncertainty of demand or supply variability, but also now have to deal with economic and environmental disruption events (Chiang et al., 2012, Snyder, 2012) Given such developments, the cultivation of supply chain agility has been suggested as an effective response strategy (Braunscheidel and Suresh, 2009; Swafford et al., 2006).

Supply chain agility has been considered a lot recently as a way for organizations to rapidly reply to changing business environment and improve their customer service levels (Mehralian et al., 2015). Supply chain agility is widely considered to be the most critical success factor in today's competitive marketplace (Goldman, Nagel, & Preiss, 1995), as an agile supply chain enables its member firms to be more market-sensitive, more capable of synchronizing supply with demand, and better able to achieve shorter cycle times (Chan et. al., 2016).

Furthermore, Trends towards greater interconnectivities, interdependencies, and cost-efficient philosophies has increased the potential impact of supply chain disruptions. This means that supply chains are increasingly vulnerable to disruption and at risk of losses and supply chain breakdown, which compromise supply chain survivability. Thus, supply chain capabilities for agility and resilience represents an emerging supply chain concern alongside longstanding recognition of the need for supply chains to strategically develop and/or combine their capabilities to